

# Геометрическое доказательство формулы Рёдсета для чисел Фробениуса

А. В. Устинов\*

Посвящается 75-летию А. А. Карацубы

## 1 Введение

Пусть  $a_1, \dots, a_n$  — натуральные числа, взаимно простые в совокупности (наибольший общий делитель всех чисел равен 1). Числом Фробениуса  $g(a_1, \dots, a_n)$  называется наибольшее целое  $m$ , не представимое в виде

$$x_1 a_1 + \dots + x_n a_n = m, \quad (1)$$

где  $x_1, \dots, x_n$  — целые неотрицательные числа. Модифицированное число Фробениуса

$$f(a_1, \dots, a_n) = g(a_1, \dots, a_n) + a_1 + \dots + a_n,$$

равно наибольшему целому  $m$ , не представимому в виде (1) с натуральными коэффициентами  $x_1, \dots, x_n$ . Задача о нахождении  $g(a_1, \dots, a_n)$  (или  $f(a_1, \dots, a_n)$ ) называется *проблемой Фробениуса*.

При  $n = 2$  известна формула приписываемая Сильвестру (см. [37], обсуждение истории вопроса см. в [31]):  $f(a, b) = ab$ . Если  $n = 3$ , то  $f(a, b, c)$  находится с помощью цепных дробей (см. результаты Сельмера, Бейера и Рёдсета [32, 35]). Существуют и другие подходы к нахождению чисел Фробениуса с тремя аргументами (см. [31, глава 2], и более поздние результаты [20, 21]), однако с аналитической точки зрения наиболее удобной является формула Рёдсета (см. ниже). Она позволяет применить к исследованию чисел Фробениуса технику, используемую для изучения статистических свойств конечных цепных дробей (см., например, [6]). В частности, формула Рёдсета позволяет решить задачу Арнольда о слабой асимптотике для чисел Фробениуса (то есть асимптотике в среднем, см. [13, задачи 1999-8, 2003-5], и [1]):  $f(a, b, c) \sim \frac{8}{\pi} \sqrt{abc}$  (см. [7, 9]); в качестве следствия получить доказательство гипотезы Дейвисона из [17]: среднее значение нормированных чисел Фробениуса  $\frac{f(a,b,c)}{\sqrt{abc}}$  равно  $8/\pi$ ; найти плотность распределения нормированных чисел Фробениуса (см. [8])

$$p(t) = \begin{cases} 0, & \text{если } t \in [0, \sqrt{3}]; \\ \frac{12}{\pi} \left( \frac{t}{\sqrt{3}} - \sqrt{4-t^2} \right), & \text{если } t \in [\sqrt{3}, 2]; \\ \frac{12}{\pi^2} \left( t\sqrt{3} \arccos \frac{t+3\sqrt{t^2-4}}{4\sqrt{t^2-3}} + \frac{3}{2} \sqrt{t^2-4} \log \frac{t^2-4}{t^2-3} \right), & \text{если } t \in [2, +\infty). \end{cases}$$

---

\*Работа выполнена при поддержке гранта Президента РФ № МД-2339.2010.1, фонда «Династия», фонда РФФИ, гранты № 11-01-12004-офи-м-2011, 10-01-98001-р-сибирь-а, 09-01-00371-а, проекта ДВО № 09-И-П4-03

Существование этой плотности было установлено ранее Бургейном и Синаем в работе [2] (см. также [36]).

При  $n \geq 4$  формулы для нахождения  $f(a_1, \dots, a_n)$  известны лишь для некоторых частных случаев, вероятно наиболее общим является результат о цепных последовательностях [4, 5]. Доказано, что для фиксированного  $n$  число Фробениуса можно вычислить за полиномиальное время (см. [26]), а при произвольном  $n$  нахождение  $f(a_1, \dots, a_n)$  становится  $NP$ -трудной задачей (см. [27]).

За последнее время ряд результатов о статистических свойствах чисел Фробениуса с произвольным числом аргументов был получен методами геометрии чисел (см. [11, 12]) и методами эргодической теории (см. [28, 29]); соответствующие экспериментальные данные можно найти в [3] и [29]. В связи с этим представляется интересным геометрическая интерпретация формулы Рёдсета, предлагаемая в настоящей статье. Можно надеяться, что она поспособствует пониманию задачи и в большей размерности, когда ситуация становится существенно сложнее (см. [19]). Геометрическую интерпретацию цепных дробей для изучения чисел Фробениуса предлагалось использовать в статье [14], однако явные формулы там получены не были.

Представленное доказательство формулы Рёдсета использует несколько простых утверждений (см. свойства  $L$ -образных диаграмм и леммы 1–2), которые хорошо известны. Наряду с их короткими доказательствами (которые не оригинальны, а приведены лишь для удобства читателя) в статье даны ссылки на статьи, где эти утверждения независимо появлялись. Ссылки призваны проиллюстрировать связи между разными задачами и отчасти дополняют исторические комментарии из книги [31].

## 2 Двухконтурные сети

При нахождении числа Фробениуса  $f(a, b, c)$  можно избавляться от общих делителей аргументов по формуле Джонсона из [25]

$$f(da, db, c) = df(a, b, c). \quad (2)$$

Поэтому в дальнейшем будем предполагать, что  $(a, b) = (a, c) = (b, c) = 1$ .

Тройке  $(a, b, c)$  поставим в соответствие *двухконтурную сеть* — ориентированный граф с  $a$  вершинами  $0, 1, 2, \dots, a-1$  и ребрами двух типов  $j \rightarrow j+b \pmod{a}$  и  $j \rightarrow j+c \pmod{a}$  с весами (длинами)  $w_b$  и  $w_c$  соответственно. Для решения задачи Фробениуса нужно выбрать  $w_b = b$  и  $w_c = c$  (ребра первого типа требуют для своего прохождения времени  $b$ , а второго типа — времени  $c$ ). Каждому маршруту, который начинается в нулевой вершине и за время  $t(x, y) = bx + cy$  проходит  $x$  ребер длины  $b$  и  $y$  ребер длины  $c$ , будем ставить в соответствие клетку  $K(x, y)$  (координаты клетки — это координаты ее левого нижнего угла) с числом  $n(x, y) = t(x, y) \pmod{a}$  — номером конечной вершины маршрута.

Для описания основных параметров двухконтурной сети (таких как диаметр, среднее расстояние между вершинами, длина кратчайшего цикла, ...) необходимо описание кратчайших маршрутов между вершинами. Из-за наличия очевидной симметрии, достаточно ограничиться маршрутами, начинающимися в нулевой вершине. Полное описание задается  $L$ -образной диаграммой (она имеет форму прямоугольника с вырезанным фрагментом в правой верхней части, см. рис. 2–4), которая строится с помощью следующего правила.

Моменты времени  $t(x, y)$  ( $x, y \geq 0$ ) упорядочиваются в порядке возрастания  $0 = t_0 < t_1 < \dots < t_j < \dots$  и для каждого  $t_j = t(x, y)$ , при условии, что число  $n(x, y)$  в диаграмме отсутствует, к диаграмме добавляется клетка  $K(x, y)$  с числом  $n(x, y)$ ; если можно добавить сразу несколько клеток, то добавляется клетка с наименьшей ординатой.

Другими словами, если число  $n = n(x, y)$  записано в клетке  $K(x, y)$ , то кратчайший путь  $0 \rightarrow n$  проходит через  $x$  ребер длины  $b$  и  $y$  ребер длины  $c$ . Поскольку  $(a, b) = (a, c) = 1$ , то каждая вершина графа достижима, и диаграмма (будем в дальнейшем обозначать её  $\mathcal{L}$ ) состоит в точности из  $a$  клеток.

На рис. 1 изображена двухконтурная сеть, построенная по числам  $a = 7, b = 3, c = 5$ . Сплошные стрелки имеют длину  $b = 3$ , а пунктирные — длину  $c = 5$ . На рис. 2 внизу изображена соответствующая диаграмма  $\mathcal{L}$ , а наверху диаграмма с временами кратчайших маршрутов.

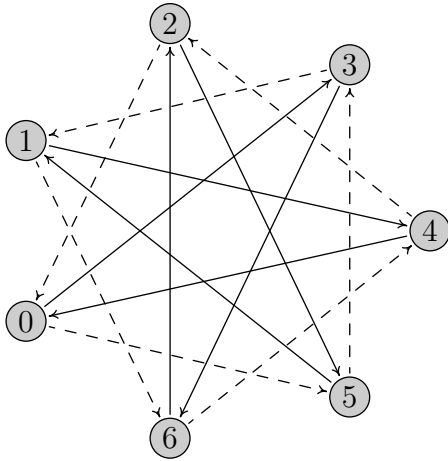


Рис. 1

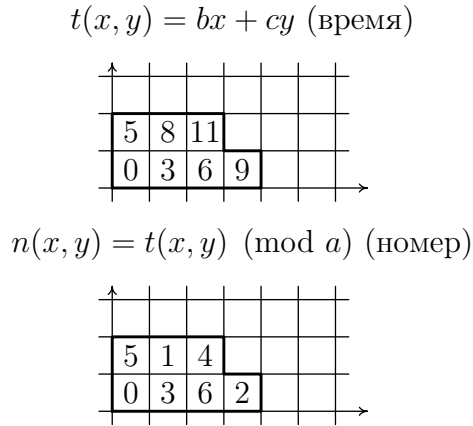


Рис. 2

Двухконтурные сети появились в работе [38] в связи с задачей о построении многомодульных структур памяти, и стали объектом интенсивного изучения, см. обзоры [23, 15, 24]. Однако еще раньше  $L$ -образные диаграммы возникли в связи с проблемой Фробениуса в [16] и неоднократно использовались разными авторами (см. [35, 32, 30, 33, 20, 21, 19, 14, 10]).

Перечислим простейшие свойства получающихся диаграмм.

- 1°. Если клетка  $K(x, y)$  не лежит в диаграмме  $\mathcal{L}$ , то и все клетки из угла  $\bigcup_{u, v \geq 0} K(x + u, y + v)$  не лежат в  $\mathcal{L}$ .
- 2°. Если  $K(x, y) \notin \mathcal{L}$ , но  $K(x - 1, y) \in \mathcal{L}$ , то число  $n(x, y)$  встречается в первом столбце диаграммы  $\mathcal{L}$ .
- 3°. Если  $K(x, y) \notin \mathcal{L}$ , но  $K(x, y - 1) \in \mathcal{L}$ , то число  $n(x, y)$  встречается в первой строке диаграммы  $\mathcal{L}$ .
- 4°. Если  $K(x, y) \notin \mathcal{L}$ , но  $K(x - 1, y) \in \mathcal{L}$  и  $K(x, y - 1) \in \mathcal{L}$ , то  $n(x, y) = 0$ .

Они вытекают из правила заполнения диаграммы.

Первое свойство равносильно тому, что если  $K(x, y) \in \mathcal{L}$ , то, для всех  $u, v$  в пределах  $0 \leq u \leq x, 0 \leq v \leq y$  клетки  $K(x - u, y - v)$  лежат в  $\mathcal{L}$ .

Для проверки второго свойства предположим, что значение  $n(x, y)$  встретилось в клетке  $K(x', y') \in \mathcal{L}$ , которая не стоит в первом столбце. Тогда  $K(x-1, y), K(x'-1, y') \in \mathcal{L}$ , и  $n(x-1, y) = n(x'-1, y')$ , что противоречит правилу заполнения (числа не могут повторяться).

Третье свойство аналогично второму.

Четвертое свойство следует из второго и третьего: число  $n(x, y)$  должно встречаться в первой строке и в первом столбце, то есть  $n(x, y) = n(0, 0) = 0$ .

Свойства построенной диаграммы тесно связаны со свойствами решетки

$$\Lambda = \{(x, y) \in \mathbb{Z}^2 : bx + cy \equiv 0 \pmod{a}\}.$$

**Лемма 1.** *Диаграмма, полученная в результате применения вышеописанного правила, имеет  $L$ -образную форму. Сдвиги  $\mathcal{L}$  на векторы решетки  $\Lambda$  замощают всю плоскость. Стороны диаграммы однозначно определяются любыми двумя из тройки векторов (см. рис. 3)  $\overrightarrow{OD}, \overrightarrow{AF}, \overrightarrow{BG}$  ( $\overrightarrow{AF} = \overrightarrow{OD} + \overrightarrow{BG}$ ). Координаты векторов  $\overrightarrow{OD} = (x_0, y_0)$ ,  $\overrightarrow{AF} = (x_1, y_1)$ ,  $\overrightarrow{BG} = (x_2, y_2)$  характеризуются следующими условиями.*

$\overrightarrow{OD}$ :  $x_0, y_0 > 0$ ,  $(x_0, y_0) \in \Lambda$ ,  $t(x_0, y_0) = \min_{\substack{x, y > 0 \\ (x, y) \in \Lambda}} t(x, y)$ ; если минимальное значение формы

$t(x, y)$  достигается в нескольких точках, то в качестве  $(x_0, y_0)$  выбирается точка с наименьшей ординатой.

$\overrightarrow{AF}$ :  $x_1$  — наименьшее натуральное число, для которого существует такое  $y_1 \geq 0$ , что  $(x_1, -y_1) \in \Lambda$  и  $t(0, y_1) < t(x_1, 0)$ .

$\overrightarrow{BG}$ :  $y_2$  — наименьшее натуральное число, для которого существует такое  $x_2 \geq 0$ , что  $(x_2, -y_2) \in \Lambda$  и  $t(x_2, 0) \leq t(0, y_2)$ .

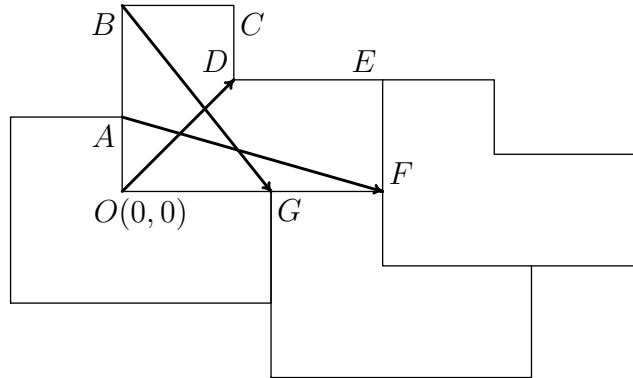


Рис. 3

**Доказательство.** (См. [22, 38, 34, 14, 10].) Согласно свойству 1°, диаграмма имеет вид «лестницы», состоящей из прямоугольных ступеней. По свойству 4° может существовать только одна клетка  $K(x, y) \notin \mathcal{L}$ , для которой  $K(x-1, y) \in \mathcal{L}$  и  $K(x, y-1) \in \mathcal{L}$ . Действительно, если найдутся две такие клетки  $K(x_1, y_1)$  и  $K(x_2, y_2)$ , то  $n(x_1, y_1) = n(x_2, y_2) = 0$ , значит, и  $n(x_1-1, y_1) = n(x_2-1, y_2)$ , а это противоречит предположению, что  $K(x_1-1, y_1) \in \mathcal{L}$  и  $K(x_2-1, y_2) \in \mathcal{L}$ . Следовательно, «лестница» состоит не более чем из двух ступеней, и диаграмма имеет  $L$ -образную форму.

Каждое число от 0 до  $a-1$  входит в диаграмму ровно по одному разу. Поэтому перенося  $\mathcal{L}$  на векторы решетки  $\Lambda$  получим замощение всей плоскости. Учитывая, что

$n(x_1, y_1) = n(x_2, y_2) \Leftrightarrow (x_1 - x_2, y_1 - y_2) \in \Lambda$ , характеристические свойства векторов  $\overrightarrow{AF}$  и  $\overrightarrow{BG}$  следуют из свойств 2° и 3° соответственно. Характеристические свойства вектора  $\overrightarrow{OD}$  следуют из правила заполнения диаграммы.  $\square$

*Замечание 1.* В некоторых случаях  $L$ -образная диаграмма может вырождаться в прямоугольник. Поскольку площадь диаграммы равна  $a$ , вырожденный случай соответствует равенству  $x_1 y_2 = a$ . Отсюда, перемножая сравнения  $b x_1 \equiv c y_1 \pmod{a}$ ,  $c y_2 \equiv b x_2 \pmod{a}$ , получаем, что  $y_1 x_2 \equiv 0 \pmod{a}$ . Но  $0 \leq y_1 < y_2$ ,  $0 \leq x_2 < x_1$ , то есть  $0 \leq y_1 x_2 < x_1 y_2 = a$ . Значит,  $y_1 x_2 = 0$ . Если  $y_1 = 0$ , то  $x_1 = a$ , что возможно только при выполнении условия  $b(a-1) \leq c$  ( $t(a-1, 0) \leq t(0, 1)$ ). Если же  $x_2 = 0$ , то  $y_2 = a$ , что бывает только если  $c(a-1) \leq b$  ( $t(0, a-1) \leq t(1, 0)$ ). С точки зрения нахождения числа Фробениуса описанные случаи не представляют интереса, поскольку в первом  $g(a, b, c) = g(a, b) = ab - a - b$ , а во втором —  $g(a, b, c) = g(a, c) = ac - a - c$ .

Чтобы лемма 1 оставалась справедливой и в вырожденных случаях, нужно считать, что для прямоугольной диаграммы точка  $D$  определяется равенством  $\overrightarrow{OD} = \overrightarrow{AF} - \overrightarrow{BG}$ . Тогда характеристическое свойство вектора  $\overrightarrow{OD}$  будет следовать из явного вида векторов  $\overrightarrow{AF}$  и  $\overrightarrow{BG}$ .

**Лемма 2.** Пусть  $C = (x_C, y_C)$ ,  $E = (x_E, y_E)$ . Тогда

$$f(a, b, c) = \max\{t(x_C, y_C), t(x_E, y_E)\}.$$

**Доказательство.** (См. [16, 34, 14].) Для целых чисел  $n$  в пределах  $0 \leq n \leq a-1$  определим функцию  $t(n)$  как время достижения вершины  $n$ :  $t(n(x, y)) = t(x, y)$  ( $K(x, y) \in \mathcal{L}$ ). Диаметр двухконтурной сети выражается через координаты точек  $C$  и  $E$ :

$$D = \max_{0 \leq n \leq a-1} t(n) = \max_{K(x, y) \in \mathcal{L}} t(x, y) = \max\{t(x_C - 1, y_C - 1), t(x_E - 1, y_E - 1)\}.$$

Число  $m \equiv n \pmod{a}$  ( $0 \leq n < a$ ) представимо в виде  $m = bx + cy + az$  ( $x, y, z \geq 0$ ) тогда и только тогда, когда  $m \geq t(n)$ . Поэтому

$$g(a, b, c) = \max_{0 \leq n \leq a-1} t(n) - a = D - a = \max\{t(x_C, y_C), t(x_E, y_E)\} - a - b - c,$$

что равносильно утверждению леммы.  $\square$

*Замечание 2.* Лемма 2 остается справедливой и при более слабом первоначальном предположении, что  $(a, b, c) = 1$ . При  $(d, a) = 1$  два ориентированных графа с  $a$  вершинами и ребрами вида  $j \rightarrow j + b \pmod{a}$ ,  $j \rightarrow j + c \pmod{a}$  (в первом графе) и  $j \rightarrow j + db \pmod{a}$  и  $j \rightarrow j + dc \pmod{a}$  (во втором графе) изоморфны. Если сравнить диаметры соответствующих двухконтурных сетей и воспользоваться леммой 2, то получится формула Джонсона (2):  $f(a, db, dc) = df(a, b, c)$ .

### 3 Формула Рёдсета

Пусть  $a, b, c$  — натуральные числа,  $(a, b) = (a, c) = (b, c) = 1$  и  $l$  — решение сравнения  $bl \equiv c \pmod{a}$ , лежащее в пределах  $1 \leq l \leq a$ . Формула Рёдсета для  $f(a, b, c)$  основана

на разложении числа  $a/l$  в приведенную регулярную цепную дробь

$$\frac{a}{l} = a_1 - \frac{1}{a_2 - \frac{1}{\dots - \frac{1}{a_m}}} \quad (a_1, \dots, a_m \geq 2).$$

Определим последовательности  $\{s_j\}, \{q_j\}$  ( $0 \leq j \leq m+1$ ) условиями

$$\begin{aligned} s_{m+1} = 0, s_m = 1, \quad q_0 = 0, q_1 = 1, \\ s_{j-1} = a_j s_j - s_{j+1}, \quad q_{j+1} = a_j q_j - q_{j-1} \quad (1 \leq j \leq m). \end{aligned}$$

Тогда (см. [32])  $s_0 = q_{m+1} = a$ ,  $s_1 = l$ ,  $q_m = l^{-1} \pmod{a}$ , последовательность  $\{s_j\}$  монотонно убывает,  $\{q_j\}$  — монотонно возрастает и

$$0 = \frac{s_{m+1}}{q_{m+1}} < \frac{s_m}{q_m} < \dots < \frac{s_1}{q_1} < \frac{s_0}{q_0} = \infty.$$

Значит, однозначно определен номер  $v$ , для которого  $s_{v+1}/q_{v+1} \leq c/b < s_v/q_v$ . Рёдсет доказал, что координаты точек  $C$  и  $E$ , определяющих стороны диаграммы  $\mathcal{L}$  (см. рис. 3) имеют вид  $C = (s_v - s_{v+1}, q_{v+1})$ ,  $E = (s_v, q_{v+1} - q_v)$ . В совокупности с леммой 2 это позволяет найти число Фробениуса  $f(a, b, c)$ .

**Теорема 1** (Рёдсет, 1978). *Справедлива формула*

$$f(a, b, c) = bs_v + cq_{v+1} - \min \{bs_{v+1}, cq_v\}.$$

Последовательности  $\{s_j\}, \{q_j\}$  (см. [7]) имеют следующую геометрическую интерпретацию. Рассмотрим выпуклые оболочки ненулевых точек решетки  $\Lambda$ , лежащих в I и II координатных четвертях. Границы этих оболочек будем называть парусами и обозначать  $\Pi_+$  и  $\Pi_-$  соответственно. Точки  $P_n = (q_n, s_n)$  ( $0 \leq n \leq m+1$ ) — это точки решетки  $\Lambda$ , лежащие на  $\Pi_-$ . При любом  $n$  ( $1 \leq n \leq m+1$ ) векторы  $e_n = (q_n, s_n)$  и  $e_{n-1} = (q_{n-1}, s_{n-1})$  образуют базис решетки  $\Lambda$ . Совокупность вершин парусов  $\Pi_+$  и  $\Pi_-$  описывается последовательностями, аналогичными  $\{s_j\}$  и  $\{q_j\}$ , но построенным по разложению  $a/l$  в классическую цепную дробь. Векторы, соединяющие начало координат с вершинами  $\Pi_+$  составляют  $\Pi_-$  и наоборот. В частности, точки  $e_n - e_{n-1} = (q_n - q_{n-1}, s_n - s_{n-1})$  являются вершинами паруса  $\Pi_+$ .

На рисунке 4 изображен пример для  $a = 17$ ,  $b = 9$ ,  $c = 5$  ( $l = 10$ ).

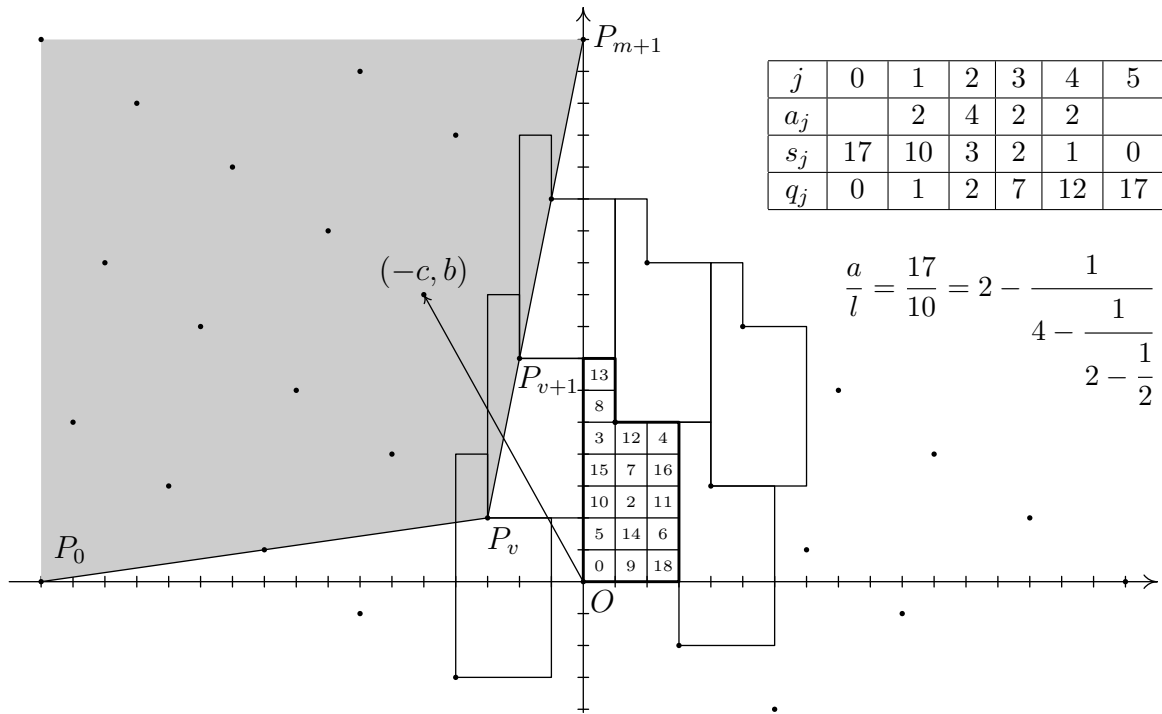


Рис. 4

## 4 Доказательство формулы Рёдсета

**Лемма 3.** Пусть точка пересечения вектора  $(-c, b)$  с парусом  $\Pi_-$  лежит на полуинтервале  $(P_v, P_{v+1}]$  ( $0 \leq v \leq m$ ). Тогда векторы  $\overrightarrow{OD}$ ,  $\overrightarrow{AF}$  и  $\overrightarrow{BG}$ , определяющие форму  $L$ -образной диаграммы, имеют вид  $\overrightarrow{OD} = \overrightarrow{P_v P_{v+1}}$ ,  $\overrightarrow{AF} = \overrightarrow{P_v O}$  и  $\overrightarrow{BG} = \overrightarrow{P_{v+1} O}$ , то есть

$$\overrightarrow{OD} = (s_v - s_{v+1}, q_{v+1} - q_v), \quad \overrightarrow{AF} = (s_v, -q_v), \quad \overrightarrow{BG} = (s_{v+1}, -q_{v+1}).$$

**Доказательство.** Среди точек решетки  $\Lambda$ , лежащих строго внутри первой координатной четверти, точка  $D(x_0, y_0)$  характеризуется тем, что линейная форма  $t(x, y) = bx + cy$  в точке  $D$  принимает наименьшее возможное значение. (Если минимальное значение достигается сразу в нескольких точках, то, в соответствии с правилом, точка  $D$  выбирается так, чтобы ее ордината была как можно меньше.) Точка  $D$  должна лежать на парусе  $\Pi_+$ , значит, для некоторого номера  $j$  будет выполняться равенство  $\overrightarrow{OD} = \overrightarrow{P_j P_{j+1}}$  ( $0 \leq j \leq m$ ). Условие минимальности формы  $t(x, y)$  равносильно тому, что среди всех векторов вида  $\overrightarrow{P_j P_{j+1}}$  нужно выбрать тот, проекция которого на вектор  $(b, c)$  имеет наибольшую длину. Это будет вектор  $\overrightarrow{P_v P_{v+1}}$ , поскольку двигаясь по парусу  $\Pi_+$  снизу вверх, мы приходим в точку  $D$  вдоль вектора, который ниже  $(-c, b)$  (на рис. 4 это вектор  $\overrightarrow{OP'_v}$ ), а выходим из нее вдоль вектора, который уже не ниже  $(-c, b)$  (на рис. 4 это вектор  $\overrightarrow{OP_{v+2}}$ ).

Условие  $t(0, y_1) < t(x_1, 0)$  может быть переписано в виде  $y_1/x_1 < b/c$ . По лемме 1, для доказательства равенства  $-\overrightarrow{AF} = \overrightarrow{OP'_v}$  нужно проверить следующее утверждение: все точки решетки  $\Lambda$ , лежащие выше оси  $Ox$ , строго ниже луча  $(-c, b)$  и отличные от  $P_v$ , лежат левее  $P_v$ . Для точек ниже луча  $OP_v$  это очевидно, а для точек внутри угла  $P_v OP_{v+1}$  следует из того, что они представимы в виде  $xOP_v + yOP_{v+1}$ , где  $y \geq 0$

и  $x \geq 1$  (последнее неравенство вытекает из того, что рассматриваемые точки лежат строго ниже вектора  $(-c, b)$ , а, значит, и строго ниже вектора  $\overrightarrow{OP_{v+1}}$ ).

Аналогично для доказательства равенства  $-\overrightarrow{BG} = \overrightarrow{OP_{v+1}}$  нужно проверить следующее: все точки решетки  $\Lambda$ , лежащие правее оси  $Oy$ , не ниже луча  $(-c, b)$  и отличные от  $P_{v+1}$ , лежат выше  $P_{v+1}$ . Для точек правее луча  $OP_{v+1}$  это очевидно, а для точек внутри угла  $P_vOP_{v+1}$  следует из их представления в виде  $x\overrightarrow{OP_v} + y\overrightarrow{OP_{v+1}}$ , где  $x \geq 0$  и  $y \geq 1$  (вектор  $(-c, b)$  строго выше вектора  $\overrightarrow{OP_v}$ ).  $\square$

**Доказательство теоремы Рёдсета.** По лемме 3 точки  $C$  и  $E$  имеют координаты  $C = (s_v - s_{v+1}, q_{v+1})$ ,  $E = (s_v, q_{v+1} - q_v)$ . Подставляя их в лемму 2, получаем требуемую формулу для чисел Фробениуса.

*Замечание 3.* Формулы из леммы 3 позволяют описывать и другие диофантовы свойства тройки  $(a, b, c)$  (и соответствующие характеристики двухконтурной сети). Например, можно найти величину  $N(a, b, c)$ , которая при  $(a, b, c) = 1$  равна количеству натуральных  $m$  не представимых в виде  $m = ax + by + cz$ ,  $(x, y, z \geq 0)$ . Число  $N(a, b, c)$  (его естественно было бы называть *числом Сильвестра*, так как задача [37] была посвящена именно нахождению  $N(a, b)$ ) отвечает за среднее расстояние между вершинами двухконтурной сети (см. [34] и [31, теорема 5.3.1]). Как доказал Рёдсет, *модифицированное число Сильвестра*

$$S(a, b, c) = N(a, b, c) + \frac{a + b + c - 1}{2}$$

как и  $f(a, b, c)$  удовлетворяет соотношению (см. [33, лемма 1])

$$S(da, db, c) = d \cdot S(a, b, c),$$

и при  $(a, b) = (a, c) = (b, c) = 1$  (см. [33, теорема 2])

$$2S(a, b, c) = bs_v + cq_{v+1} - s_{v+1}q_v(b(s_v - s_{v+1}) + c(q_{v+1} - q_v))/a.$$

Также получается, что на неотрицательных нетривиальных решениях сравнения  $bx + cy \equiv 0 \pmod{a}$  ( $x, y \geq 0$ ), наименьшее значение формы  $t(x, y) = bx + cy$  (которое отвечает за длину кратчайшего цикла) равно  $b(s_v - s_{v+1}) + c(q_{v+1} - q_v)$ . Меняя между собой аргументы  $a, b, c$ , таким образом можно найти элементы *матрицы Джонсона*, которая также позволяет находить числа Фробениуса [25, теорема 4]. Она является более симметричным инструментом, чем формула Рёдсета, и удобна при использовании метода производящих функций (см. [18, 20, 21]).

## Список литературы

- [1] Арнольд В. И. *Экспериментальное наблюдение математических фактов*. — М.: МЦНМО, 2006.
- [2] Бургейн Ж., Синай Я. Г. Предельное поведение больших чисел Фробениуса. — *Успехи мат. наук*, **62**:4 (2007), 77–90.
- [3] Воробьев И. С. Экспериментальное исследование проблемы Фробениуса для трех аргументов. — *Дальневост. матем. журн.*, **11**:1 (2011), 3–9.

- [4] КАН И. Д. К проблеме Фробениуса. — *ФПМ*, 1997, 3, 821–835.
- [5] КАН И. Д. Проблема Фробениуса для классов полиномиальной разрешимости, — *Матем. заметки*, 70:6 (2001), 845–853.
- [6] УСТИНОВ А. В. *Приложения сумм Клостермана в арифметике и геометрии*. — LAMBERT Academic Publishing, 2011.
- [7] УСТИНОВ А. В. Решение задачи Арнольда о слабой асимптотике для чисел Фробениуса с тремя аргументами. — *Мат. сборник*, 200:4 (2009), 131–160.
- [8] УСТИНОВ А. В. О распределении чисел Фробениуса с тремя аргументами. — *Известия РАН*, 74:5 (2010), 145–170.
- [9] ФРОЛЕНКОВ Д. А. Среднее значение чисел Фробениуса с тремя аргументами . — *Известия РАН. Серия математическая*, (в печати), arXiv:1103.5427v1.
- [10] AICARDI F. On the geometry of the Frobenius problem. — *Funct. Anal. Other Math.*, 2009, 2, 111–127.
- [11] ALIEV I., HENK M. Integer knapsacks: average behavior of the Frobenius numbers. — *Mathematics of Operational Research* 34: 3 (2009), 698–705.
- [12] ALIEV I., HENK M., HINRICHS A. Expected Frobenius numbers. — *Journal of Combinatorial Theory, series A*; 118: 2 (2011), 525–531.
- [13] ARNOLD V. *Arnold's Problems*. — Springer, 2005.
- [14] ARNOLD V. I. Geometry of continued fractions associated with Frobenius numbers. — *Funct. Anal. Other Math.*, 2009, 2, 129–138.
- [15] BERMOND J.-C., COMELLAS F., HSU D. F. Distributed Loop Computer Networks: A Survey. — *Journal of Parallel and Distributed Computing*, 1995, 24, 2–10
- [16] BRAUER A., SHOCKLEY J. E. On a problem of Frobenius. — *J. Reine Angew. Math.*, 1962, 211, 215–220.
- [17] DAVISON J. L. On the linear Diophantine problem of Frobenius. — *J. Number Theory*, 48 (1994), 353–363.
- [18] DENHAM G. Short generating functions for some semigroup algebras. — *Electron. J. Comb.*, 10 (2003), Research paper 36, 7 pages.
- [19] EINSTEIN D., LICHTBLAU D., STRZEBONSKI A., WAGON S. Frobenius numbers by integer-linear programming *INTEGERS*, 2008.
- [20] FEL L. G. Frobenius problem for semigroups  $S(d_1, d_2, d_3)$ . — *Funct. Anal. Other Math.*, 2006, 1 (2), 119–157.
- [21] FEL L. G. Analytic representations in the three-dimensional Frobenius problem. — *Funct. Anal. Other Math.*, 2006, 2 (1), 27–44.

- [22] HOFMEISTER G.R. Zu einem Problem von Frobenius. — *Norske Videnskabers Selskabs Skriffter*, 5 (1966), 1–37; *Math. Rev.* 34 (1967) # 5792.
- [23] HWANG F. K. A survey on double loop networks. — *Reliability of computer and communication networks (New Brunswick, NJ, 1989)*, Amer. Math. Soc., 1991, 5, 143–151.
- [24] HWANG F. K. A complementary survey on double-loop networks. — *Theoret. Comput. Sci.*, 2001, 263, 211–229.
- [25] JOHNSON S. M. A linear diophantine problem. — *Canad. J. Math.*, 12 (1960), 390–398.
- [26] KANNAN R. Lattice Translates of a Polytope and the Frobenius Problem — *Combinatorica*, 12(2), 1992, 161–177.
- [27] KARP R. M. Reducibility Among Combinatorial Problems — *Complexity of Computer Computations*, R. E. Miller and J. W. Thatcher, Eds, Plenum, New York, 1972, 85–103.
- [28] MARKLOF J. The asymptotic distribution of Frobenius numbers — *Inventiones Mathematicae*, 2010, 181, 179–207.
- [29] MARKLOF J., STRÖMBERGSSON A. Diameters of random circulant graphs. — ArXiv e-prints 1103.3152, 2011.
- [30] NIJENHUIS M. A minimal-path algorithm for the ‘money changing problem’. — *Am. Math. Monthly* 86 (1979), 832–838. Correction in *ibid.*, 87 (1980), 377.
- [31] RAMIREZ ALFONSIN J. L. *The Diophantine Frobenius problem*. — Oxford University Press, 2005.
- [32] RÖDSETH Ö. J. On a linear Diophantine problem of Frobenius. — *J. Reine Angew. Math.*, 301 (1978), 171–178.
- [33] RÖDSETH Ö. J. Weighted multi-connected loop networks. — *Discrete Math.*, 1996, 148, 161–173.
- [34] SELMER E.S. On the linear Diophantine problem of Frobenius. — *J. Reine Angew. Math.*, 1977, 293/294, 1–17.
- [35] SELMER E.S., BEYER O. On the linear diophantine problem of Frobenius in three variables. — *J. Reine Angewandte Math.*, 301 (1978), 161–170.
- [36] SHCHUR V., SINAI YA., USTINOV A. Limiting distribution of Frobenius numbers for  $n = 3$ . — *Journal of Number Theory*, **129** (2009), 11, 2778–2789.
- [37] SYLVESTER J.J. Problem 7382. — *Educational Times* 37 (1884), 26; reprinted in: *Mathematical questions with their solution*, *Educational Times* (with additional papers and solutions) 41 (1884), 21.
- [38] WONG C. K., COPPERSMITH D. A combinatorial problem related to multimodule memory organizations. — *J. Assoc. Comput. Mach.*, 1974, 21, 392–402.